

科左后旗流行性乙型脑炎流行病学调查

科左后旗卫生防疫站 李军

流行性乙型脑炎(简称乙脑)，是自然疫源性疾病。但在本地的历史资料无有记载，近年屡见发生，为了解本地区的乙脑的流行规律，指导防治工作。仅就我旗积累的有限资料进行分析讨论。

我旗位于内蒙古东部，哲盟南部。北纬 $42^{\circ}58'$ ，东经 $122^{\circ}21'$ ，海拔247.7公尺。年平均气温最高为 7.0°C (75年)，最低为 4.6°C (69年)。降水量最多年份为1969年，共564.5毫米，最少年份为1967年，共262.3毫米。我旗东西长大约175公里，南北长104公里左右。全旗共有31个公社。13个农牧林场。是一个以牧业为主，半农半牧，半沙丘半草原，以草原为主的地区。

流行概况

一、发病率：从1963年以来，我旗已有乙脑病例报告。据现存的资料统计，有三次流行。发病率最高的达 $19.6/10\text{万}$ (1974)，最低的为 $0.3/10\text{万}$ (1977)。病例多集中在20岁以下的青少年，占65%。流行期为7~10月。1974年已由病原学证实，哲盟系乙脑疫区[1-3]。从63~79年9个年份中*，共发生乙脑患者134名。分布于29个公社，3个农牧场。呈散在分布，平均发病率为： $X \pm S = 5.03 \pm 6.86$ ，当年发病率低于平均发病率被视为散发，高于平均发病率看作流行时[4]，共有三次流行。从流行趋势来看，后两次流行低于头一次。非流行年的发病率，亦有逐渐下降的趋势(表1)。

据63~79年有发病日期可查的117例患者统计，最早发病日期为7月2日(1978)，最晚为9月28日(1974)。最长流行期为89天左右。7月份出现乙脑病例，8月份达高峰并持续到9月份，到10月流行结束(图1)。病例主要集中在8、9月份。发病年龄主要集中在20

表1 科左后旗63~79年乙脑发病率、死亡率、病死率

年份	发病率 (%)	死亡率 (%)	病死率 (%)
1963	3.2	—	—
65	4.8	—	—
66	0.9	—	—
74*	19.6	2.9	15.0
75*	9.6	1.3	13.3
76	1.3	—	—
77	0.3	—	—
78*	5.5	2.4	44.4
79	0.6	—	—

* 为流行年，67~73年资料已遗失

表2 117例乙脑患者年龄分布

年龄组	病例数	发病率(%)
0~10	34	29.1
11~20	42	35.9
21~30	22	18.8
31~40	16	13.7
41~50	3	2.6
51~	0	0
计	117	100

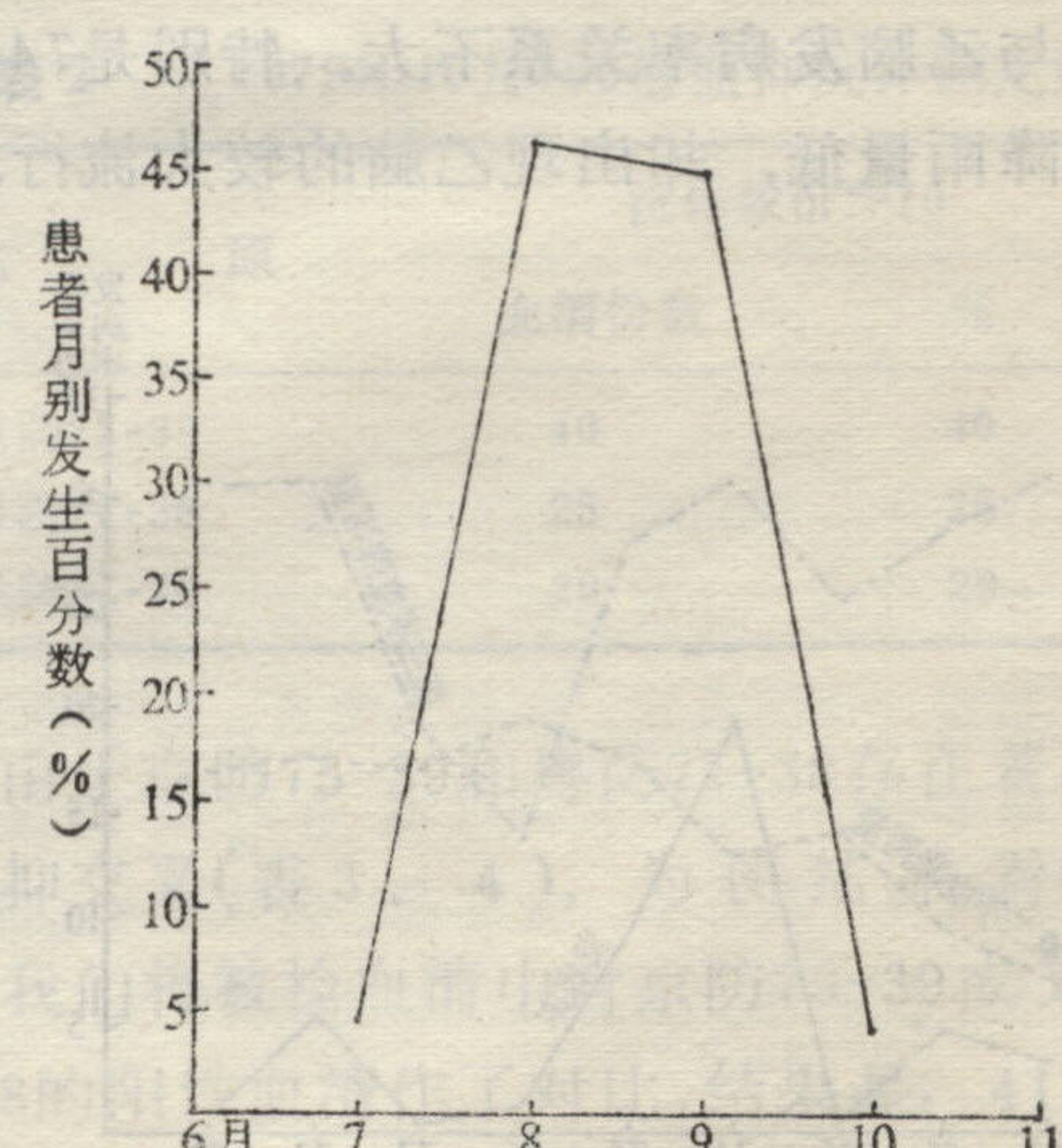


图1 乙脑流行季节曲线图

岁以下的青少年(表2)。

二. 流行因素：9年来的资料分析，初步认为，乙脑的流行与第三季度平均气温和降雨量有密切关系。

1. 平均气温与发病率的关系：流行年的第三季度平均气温高于非流行年。如74年为 24°C 、75年为 20.9°C 、78年为 20.5°C (图2)。特别是74年第三季度平均气温 24°C 左右。此温度适合病毒在蚊体内发育。该年比历年第三季度平均气温高 4°C 左右，因而引起了74年的较大流行。据文献记载，乙脑的流行大致每四年流行一次〔5〕。我旗在75年又出现一次流行，发率为 $9.6/10$ 万。 75 年年平均气温为 7.0°C ，是我旗乙脑流行年年平均气温最高的一年，此与75年乙脑的流行有密切关系。

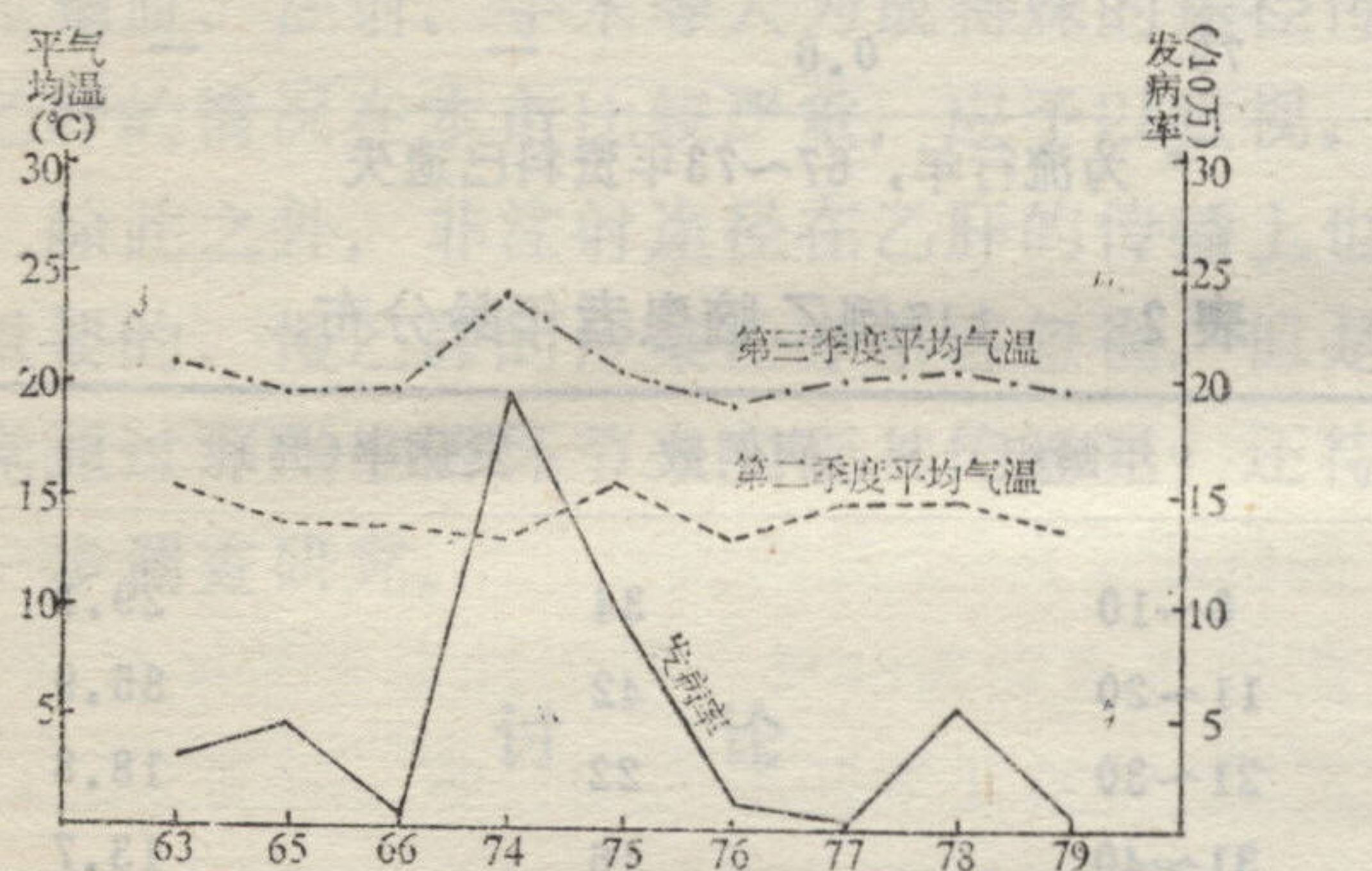


图 2 乙脑发病率与第二、三季度平均气温的关系

2. 降雨量与发病率的关系：第三季度降雨量直接影响发病率。降雨量高的年代，乙脑的发病率亦高。从曲线图分析(图3)，第二季度降雨量似与乙脑发病率关系不大。特别是74年第2季度降雨量低，却出现乙脑的较大流行。

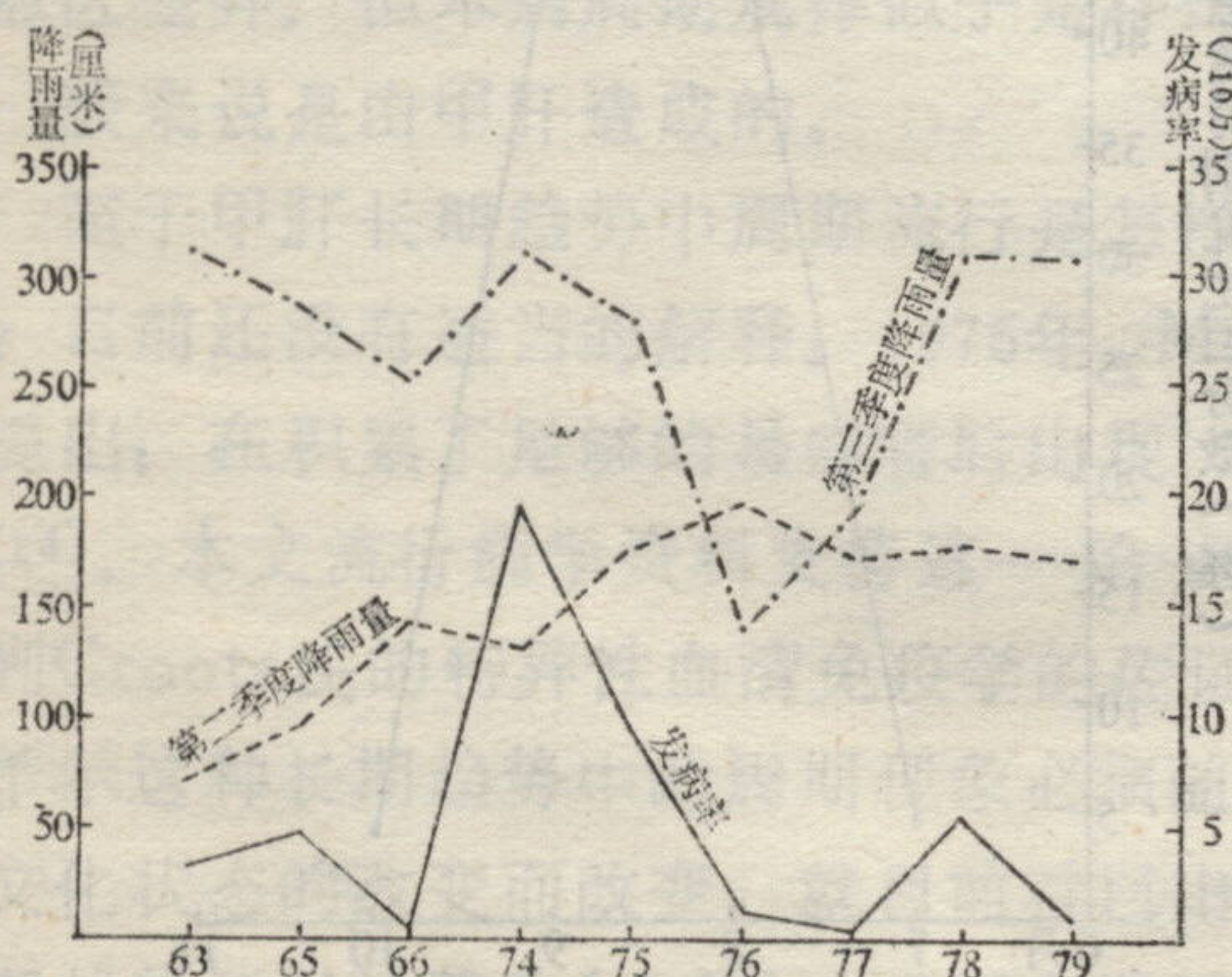


图 3 乙脑发病率与降雨量的关系

由于第三季度雨量大，下雨次数多，使积水场所增加。给蚊虫繁殖创造了有利条件。加上气温高，温度适宜。蚊虫的孳生及病毒在蚊体内的繁殖力增强，都可促使流行的发生。同时，易感人群与蚊虫接触量增加，也可使感染的机会上升。值得提出的是63年第三季度降雨量虽大，平均气温亦高，而发病率却低。因为63年是我旗乙脑首发年代。医务人员对此病缺乏足够的重视，一些乙脑患者被误诊或漏诊(鉴于63年全旗细菌性痢疾的发病率 为 $1373.3/10$ 万，是我旗解放后，历年来最大的一次细菌性痢疾流行。推测，其中有些乙脑患者可能被误诊为中毒性痢疾)。

三. 年龄分布：据有关文献记载，在曾经流行乙脑的地区，由于隐性感染的结果，大多数年长者均获得免疫力。故发病主要集中在10岁以下的儿童，约占80%以上。对我地区117例乙脑病例进行统计处理，10岁以下发病占29.1%，11~20岁发病占35.9%。结果 $P>0.05$ ，10岁以下儿童与11~20岁的发病率无显著差异。而20岁以下的病例与20岁以上的发病率差异极显著($P<0.01$)年龄和发病率间相关系数 $r=-0.91^*$ $|r|>r_{0.05}$ 直线回归呈负相关。表现为年龄越大，发病率越低。

结语

我区是乙脑流行区。第三季度平均气温和降雨量与乙脑的流行有密切关系。

发病多集中在20岁以下的青少年。我旗是半沙丘半草原，以草原为主的地区。大面积开展灭蚊工作比较困难。因此，今后预防乙脑工作的重点应放在20岁以下青少年的预防接种上。

参 考 文 献

1. 张玉琴：中华医学会哲盟分会防疫分科学会，1：21，1980。
 2. 张仁忠：《吉林卫生防疫资料》（乙脑专辑），8，1975。
 3. 郭存三：《吉林卫生防疫资料》（乙脑专辑），21～22，1975。
 4. 张可样：用回归分析法预测乙脑流行的研究，内部资料，1978。
 5. 李守正：保定市22年来流行性乙型脑炎流行病学几个问题的探讨，内部资料，1974。